

III-A 212 斜面載荷実験でのAE波形の特徴と改良b値を利用した破壊予測の適用性

建設省四国地建	正会員	青木朋也
飛島建設技術研究所	正会員	塩谷智基
日本道路公団	正会員	姫野浩志
佐伯建設	正会員	古野武秀
徳島大学工学部	正会員	藤井清司

1. はじめに これまで、AE法を模型斜面崩壊実験に適用し、局所破壊の逐次進行をAE源の推移から、終局破壊をAE振幅分布より得られる改良b値および、AE経時曲線より予測できる可能性が確認できた^{1) 2)}。一方、破壊の前兆として得られるAE波形と終局破壊段階で得られる波形には明確な違いがあり、波形形状などに注目することで、破壊が予測可能と報告されている³⁾。そこで、改良b値の急変を用い検出AEを分類し、波形形状などの違いから特徴的な事象が抽出可能か試みた。

2. 実験方法 実験は図-1に示す載荷実験装置

を用い、模型斜面を豊浦標準砂（土粒子比重 $G_s=2.64$ 、均等係数 $U_c=1.33$ 、平均粒径 $D_{50}=0.21\text{mm}$ 、含水比 $w=1.40\%$ 、間隙比 $e=0.88$ ）で作製し行う。実験は変位制御（ 0.01mm/sec ）で、スクリュージャッキにより水平方向に強制変位を与える。また、載荷荷重はロードセルで計測し、斜面表面の鉛直変位を非接触変位計により測定する。また、モルタル斜面表面に2箇所、上載荷重（ 0.02kgf/cm^2 ）を与える、破壊の進行をより明確化できるようにした。

AEは、静止土塊内部にAEセンサ（ 60kHz 共振型）を 50mm の間隔で6個埋設し、局所破壊の進行をAE源推移により確認するとともに、#1,#5のAE波形を記録する。AE信号はプロアソブにより 40dB 、メイアソブにより 40dB の合計 80dB 增幅し、しきい値 44dB で信号処理装置を介し、パラメータ記録（到達時間、最大振幅、立上がり時間、継続時間、エネルギーなど）し、AE波形をサンプリング 2MHz 、データ長 2kwords で取得した。

3. 波形分類方法 AE波形の分類は図-2に示すA～Eの5種類とした。

パターンAは鋭く立上がり、継続時間が長い波形であり、予備実験により得られた砂粒子同士の摩擦音の代表的な波形概形である。突発型AEとパターンAとが重なったパターンB、小振幅突発型AEをパターンC、継続時間が短く立上がりが鈍いパターンD、大振幅突発型のパターンEに分類した。以上のパターンにおけるA,Bは総じて大規模な連続的砂の破壊を、C,D,Eはミクロな破壊を意味するものと考えられる。

4. 実験結果および考察 図-3は#1のセンサで得られた強制変位に対する改良b値と荷重および鉛直変位を示す。波形分類に用いる区間は改良b値が挙動を示すまでの区間1、最初の増加減少を示す区間2、2回目の増加を示すまでの区間3、再度増加減少を繰返し安定するまで（荷重ピークに対応）の区間4、荷重ピーク後大規模な増加減少を示す区間5の5つの区間とし、図-2に示すパターンに分類し検討する。図-3より、載荷荷重は強制変位を与えると急増し、強制変位 8.2mm で荷重のピーク 58kgf を迎える。その後緩やかに低下し一定値に収束する。改良b値は強制変位 4mm 前で急増し、 4mm で最小となる。改良b値の増加は「ミクロ破壊がマクロ破壊に比して卓越するミクロクラックの形成等に代表される現象」を示し、改良b値の低

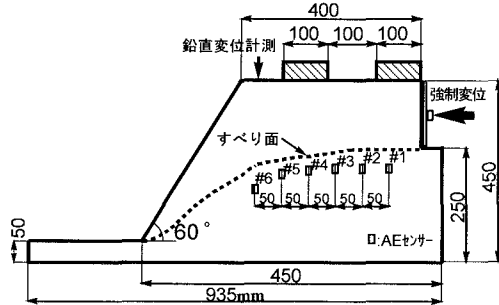


図-1 実験装置、AEセンサー配置概要

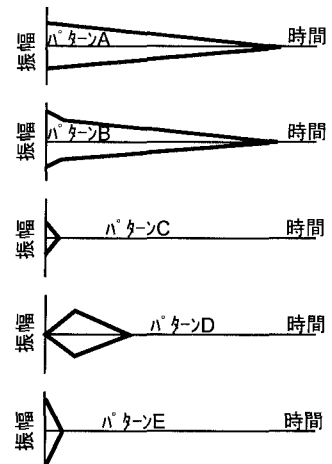


図-2 AE波形の分類

下は「マクロ破壊が卓越するすべりなどにともなう大規模な破壊」を示す。したがって、この区間2でA Eセンサ設置近傍の地盤が局所的に破壊したものと推察できる。さらに、強制変位の増加とともに改良b値は増加・減少を繰返し、載荷荷重の収束とともに一定値0.12となる。ここで、紙面の都合上割愛したが、2回目の改良b値の増加、減少区間4は、#2～#6のAEセンサより得られた最初の改良b値の増加、減少を反映しており、局所破壊が#1～#6に向い進行した段階と考えられる。鉛直変位より、荷重ピーク後に急減点があり、その後一定減少となる。つまり、区間5は順次局所的に形成された破壊面が連鎖し、運動土塊全体が動いているものと考えられる。図-4は#1のAE発生率を示しており、区間2,4で改良b値の増加、減少に対応したAE発生率の急増が認められ、土塊全体が動く区間5では沈静化している。以上よりAE活性度の増加から終局破壊の前兆はある程度判断できるが、全体的な運動を示す段階では活性度が低下するので、改良b値の変化傾向を検討するのが望ましいといえる。

図-5は得られたAE波形351個を既述のパターンに分類し、区間毎に波形パターンの割合として表している。区間1では、突発型のパターンCが大きく、反対に継続型のA,Bの割合が小さい。最初に改良b値が増加・減少する区間2では、継続型のパターンB、大振幅突発型のEの割合が増加し、小振幅突発型のパターンCが減少する。改良b値が安定挙動する区間3ではパターンAが増加しないものの、突発型と継続型が連続したパターンBが増加する。区間4では再び、微小破壊を示す小振幅突発型のパターンCが増加し、区間5ではパターンBの優位性が顕著となる。

5.まとめ AE波形を改良b値の急変箇所を利用し分類した。得られた結果は以下のとおり。

- 1) 破壊の前兆には継続時間の短い突発型のAEが検出される。
- 2) 改良b値の急増、急減する領域（区間2）は一つの破壊現象の始りと終りを意味するようであり、マクロクラックの形成に代表される小振幅突発型AE（パターンC）を多く含む領域（区間1）に比べ、継続型（パターンA）、連続型AE（パターンB）の割合が多い。
- 3) 順次形成された破壊面が連鎖し、破壊が“連続的”に発生すると考えられる領域（区間3、区間5）では、文字通り連続型のAE（突発型と継続型が重なり合う波形；パターンB）が多く検出される。

【参考文献】

- 1) 塩谷智基、青木朋也、藤井清司：AE斜面崩壊予測手法における基礎的研究、土木学会論文集No.523/I-32, pp.163-173, 1995.
- 2) 塩谷智基、青木朋也：AE経時曲線を用いた斜面崩壊時間予測、第10回AE総合カンファレンス論文集、日本非破壊検査協会, pp.49-54, 1995.
- 3) 秋父顕美、菊地正、岸下崇裕：AE波形特性を用いた地盤の破壊予知方法、第5回地下と土木のAE国内カンファレンス論文集、資源・素材学会, pp. 48-55, 1993.

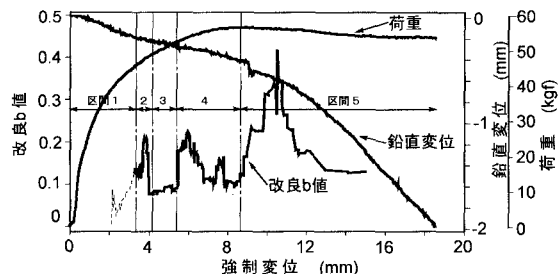


図-3 強制変位に対する荷重、変位、改良b値

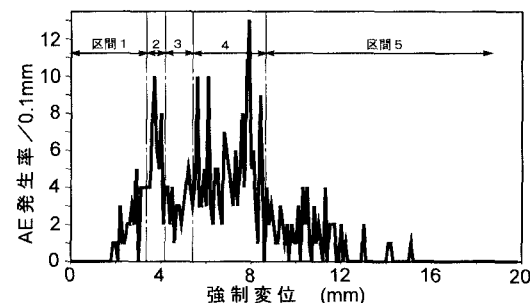


図-4 強制変位に対するAE発生率

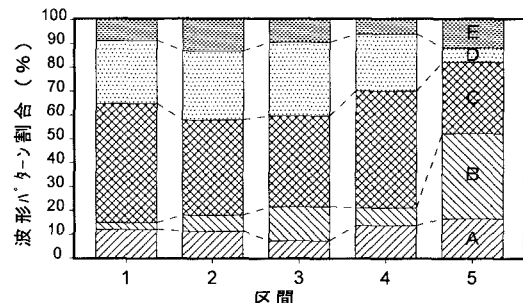


図-5 区間毎のAE波形パターン分類